

Starkniederschlagshöhen und -spenden gemäß KOSTRA-DWD-2010R

Auswertungszeitraum von 1951 - 2010, Januar - Dezember

Rasterfeld: 32046

Zeile: 32

Spalte: 46

Seite: 1/2

| Dauerstufe D | | Wiederkehrzeit T | | | | | | | | | | | | | | | | | |
|--------------|-----|------------------|------------|------|------------|------|------------|------|------------|------|------------|------|------------|------|------------|------|------------|-------|------------|
| | | 1 a | | 2 a | | 3 a | | 5 a | | 10 a | | 20 a | | 30 a | | 50 a | | 100 a | |
| min | Std | mm | l / (s ha) | mm | l / (s ha) | mm | l / (s ha) | mm | l / (s ha) | mm | l / (s ha) | mm | l / (s ha) | mm | l / (s ha) | mm | l / (s ha) | mm | l / (s ha) |
| 5 | | 4,9 | 163,3 | 6,3 | 210,0 | 7,1 | 236,7 | 8,1 | 270,0 | 9,6 | 320,0 | 11,0 | 366,7 | 11,8 | 393,3 | 12,8 | 426,7 | 14,3 | 476,7 |
| 10 | | 7,6 | 126,7 | 9,6 | 160,0 | 10,7 | 178,3 | 12,2 | 203,3 | 14,1 | 235,0 | 16,1 | 268,3 | 17,3 | 288,3 | 18,7 | 311,7 | 20,7 | 345,0 |
| 15 | | 9,4 | 104,4 | 11,8 | 131,1 | 13,2 | 146,7 | 14,9 | 165,6 | 17,3 | 192,2 | 19,7 | 218,9 | 21,1 | 234,4 | 22,8 | 253,3 | 25,2 | 280,0 |
| 20 | | 10,6 | 88,3 | 13,4 | 111,7 | 15,0 | 125,0 | 17,0 | 141,7 | 19,7 | 164,2 | 22,4 | 186,7 | 24,0 | 200,0 | 26,0 | 216,7 | 28,7 | 239,2 |
| 30 | | 12,3 | 68,3 | 15,6 | 86,7 | 17,5 | 97,2 | 19,9 | 110,6 | 23,2 | 128,9 | 26,5 | 147,2 | 28,5 | 158,3 | 30,9 | 171,7 | 34,2 | 190,0 |
| 45 | | 13,7 | 50,7 | 17,7 | 65,6 | 20,0 | 74,1 | 23,0 | 85,2 | 26,9 | 99,6 | 30,9 | 114,4 | 33,3 | 123,3 | 36,2 | 134,1 | 40,2 | 148,9 |
| 60 | | 14,5 | 40,3 | 19,1 | 53,1 | 21,8 | 60,6 | 25,1 | 69,7 | 29,7 | 82,5 | 34,3 | 95,3 | 37,0 | 102,8 | 40,3 | 111,9 | 44,9 | 124,7 |
| 90 | | 15,9 | 29,4 | 20,8 | 38,5 | 23,6 | 43,7 | 27,2 | 50,4 | 32,1 | 59,4 | 36,9 | 68,3 | 39,8 | 73,7 | 43,3 | 80,2 | 48,2 | 89,3 |
| 120 | 2 | 17,0 | 23,6 | 22,1 | 30,7 | 25,0 | 34,7 | 28,8 | 40,0 | 33,8 | 46,9 | 38,9 | 54,0 | 41,9 | 58,2 | 45,6 | 63,3 | 50,7 | 70,4 |
| 180 | 3 | 18,7 | 17,3 | 24,1 | 22,3 | 27,2 | 25,2 | 31,2 | 28,9 | 36,5 | 33,8 | 41,9 | 38,8 | 45,1 | 41,8 | 49,0 | 45,4 | 54,4 | 50,4 |
| 240 | 4 | 20,0 | 13,9 | 25,6 | 17,8 | 28,9 | 20,1 | 33,0 | 22,9 | 38,6 | 26,8 | 44,2 | 30,7 | 47,5 | 33,0 | 51,6 | 35,8 | 57,2 | 39,7 |
| 360 | 6 | 21,9 | 10,1 | 27,9 | 12,9 | 31,4 | 14,5 | 35,8 | 16,6 | 41,7 | 19,3 | 47,7 | 22,1 | 51,1 | 23,7 | 55,5 | 25,7 | 61,5 | 28,5 |
| 540 | 9 | 24,1 | 7,4 | 30,4 | 9,4 | 34,1 | 10,5 | 38,8 | 12,0 | 45,1 | 13,9 | 51,4 | 15,9 | 55,1 | 17,0 | 59,7 | 18,4 | 66,1 | 20,4 |
| 720 | 12 | 25,7 | 5,9 | 32,3 | 7,5 | 36,2 | 8,4 | 41,0 | 9,5 | 47,6 | 11,0 | 54,2 | 12,5 | 58,1 | 13,4 | 62,9 | 14,6 | 69,5 | 16,1 |
| 1080 | 18 | 28,3 | 4,4 | 35,3 | 5,4 | 39,4 | 6,1 | 44,5 | 6,9 | 51,5 | 7,9 | 58,5 | 9,0 | 62,6 | 9,7 | 67,8 | 10,5 | 74,8 | 11,5 |
| 1440 | 24 | 30,2 | 3,5 | 37,5 | 4,3 | 41,8 | 4,8 | 47,2 | 5,5 | 54,4 | 6,3 | 61,7 | 7,1 | 66,0 | 7,6 | 71,4 | 8,3 | 78,7 | 9,1 |
| 2880 | 48 | 35,3 | 2,0 | 43,7 | 2,5 | 48,5 | 2,8 | 54,7 | 3,2 | 63,0 | 3,6 | 71,4 | 4,1 | 76,3 | 4,4 | 82,4 | 4,8 | 90,8 | 5,3 |
| 4320 | 72 | 38,7 | 1,5 | 47,7 | 1,8 | 52,9 | 2,0 | 59,5 | 2,3 | 68,4 | 2,6 | 77,4 | 3,0 | 82,6 | 3,2 | 89,2 | 3,4 | 98,2 | 3,8 |

Angaben in mm: Bemessungsniederschlagswerte h(n)

Angaben in l / (s ha): Regenspende R(n) mit $R(n) = h(n) \times 1,666667 / D[\text{min}]$

Toleranzbereiche:

+/- 10 % für $1 \text{ a} \leq T \leq 5 \text{ a}$

+/- 15 % für $5 \text{ a} < T \leq 50 \text{ a}$

+/- 20 % für $50 \text{ a} < T \leq 100 \text{ a}$

Datenbasis: KOSTRA-DWD-2010R des Deutschen Wetterdienstes. Die Regenspende wurde auf Basis des Bemessungsniederschlags zur jeweiligen Andauer berechnet.

Für die Richtigkeit und Aktualität der Angaben wird keine Gewähr übernommen. Erstellt 07/2022.

Starkniederschlagshöhen und -spenden gemäß KOSTRA-DWD-2010R

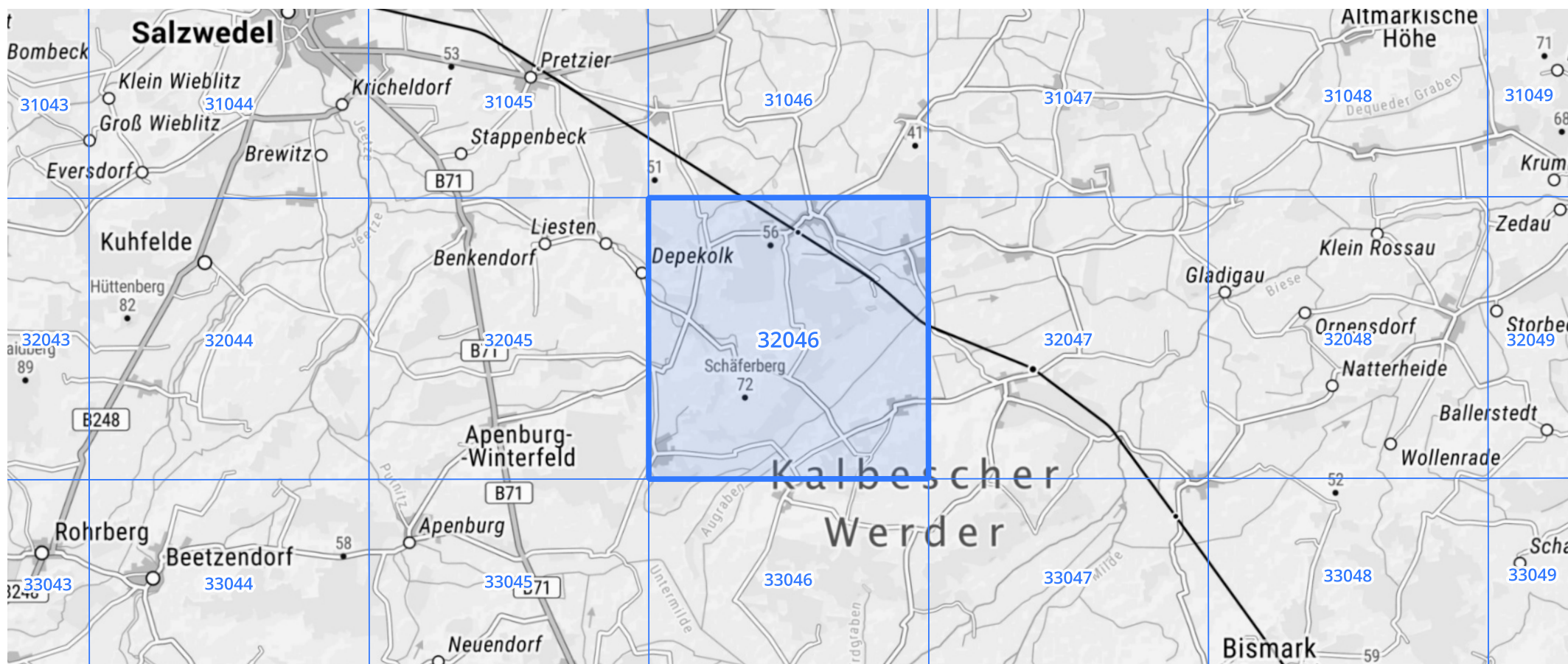
Auswertungszeitraum von 1951 - 2010, Januar - Dezember

Rasterfeld: 32046

Zeile: 32

Spalte: 46

Seite: 2/2



Quelle Rasterdaten: KOSTRA-DWD-2010R des Deutschen Wetterdienstes.

Kartendarstellung: © Bundesamt für Kartographie und Geodäsie (2022), Datenquellen: https://sgx.geodatenzentrum.de/web_public/gdz/datenquellen/Datenquellen_TopPlusOpen.html

Für die Richtigkeit und Aktualität der Angaben wird keine Gewähr übernommen. Erstellt 07/2022.